

海洋細菌 *Roseobacter* OCh-C1株の rrn インタージェニックスペーサーの構造

芝 恒男*・依藤 元*・保科禎吾*・前田俊道*・村上正忠*

Sequence analysis of the intergenic spacer existing between
16S rDNA and 23S rDNA of *Roseobacter* sp. OCh-C1

Tsuneo Shiba*, Hajime Yorifuji*, Teigo Hoshina*,
Toshimichi Maeda*, and Masatada Murakami*

Sequence analysis of the intergenic spacer, existing between 16S rDNA and 23S rDNA, was performed on *Roseobacter* sp. OCh-C1 which was isolated at Otsuchi Bay, Iwate, Japan. The intergenic spacer contained isoleucine tRNA and alanine tRNA like regions. Their structures were very similar to those of *Rhodobacter sphaeroides*. A non-coding region between the two rRNA genes was defected in *Roseobacter* sp. OCh-C1. The sequence in the downstream of 3' end of alanine tRNA region was very different between *Rhd. sphaeroides* and *Roseobacter* sp. OCh-C1.

緒 言

rrn オペロンには一般に、rRNA 遺伝子が 5'末端領域から 16S rRNA, 23S rRNA, 5S rRNA の順に配列し、各 rRNA 遺伝子間には tRNA 遺伝子が介在している¹⁾。近年細菌の簡易同定法として、16S rRNA の遺伝子（16S rDNA）を PCR（温度循環装置）で増幅抽出し、これを制限酵素で切断し電気泳動で調べ、細菌株間の相違を調べる方法（PCR-RFLP）が盛んに研究されている²⁻⁴⁾。rRNA 遺伝子は比較的安定した変異の少ない遺伝子であるため、16S rDNA を用いた PCR-RFLP は属以上のレベル

での解析に有効であるが、種以下の解析には適さない⁵⁾。一方 16S rDNA と 23S rDNA 間のインターフェニックスペーサー (IGS) は腸内細菌群においては変異の激しい領域であることが知られ¹⁾、種以下のレベルでの近縁関係を明らかにするのに有効なことが示唆されているが、腸内細菌群以外の他の細菌群については余り調べられていない。

岩手県大槌湾の河口から湾口までのほぼ全域の表面海水中では、毎年夏期にバクテオリオクロロフィルを含有する好気性細菌が優占となるが⁶⁾、その分離株 90 株は、制限酵素 *Hae*III 及び *Rsa*I による 16S rDNA の PCR-RFLP で、すべて *Roseobacter denitrificans*⁷⁾ と同一のパターンを示

水産大学校研究業績 第 1538 号、1995 年 12 月 22 日受付。

Contribution from National Fisheries University, No.1538. Received Dec. 22, 1995.

* 水産大学校製造学科微生物学講座 (Laboratory of Microbiology, Department of Food Science and Technology, National Fisheries University)

すことが筆者らの研究で明らかとなっている⁸⁾。そこで年毎及び採集場所毎の菌株間の相違をさらに詳しく調べるには、16S rDNAよりも変異性が激しいとされるIGSを用いるのが妥当と思われた。そこで本報では、IGSの変異性を確認するため、分離株の内の一株、*Roseobacter* sp. OCh-C1株（16S rDNA及び菌体吸収スペクトルに基づき同定）のIGSの一次構造を調べたので報告する。

方 法

大槌湾で分離されたOCh-C1株をPPES-II寒天培地⁷⁾、20°Cで静培養した。菌を白金耳でかき取り、100μlの蒸留水に懸濁し、100°Cで10分間加熱してDNAを抽出した。遠心後、上澄液を鋳型DNA液として用いた。PCR反応は、0.5μg相当のPCRプライマー、TaqDNAポリメラーゼ2ユニット、同酵素用10倍濃度のpH緩衝液（日本ジーン）10μl、デオキシアデノシン3'磷酸、デオキシグアノシン3'磷酸、デオキシチジン3'磷酸、デオキシチミジン3'磷酸各250μM、0.2μg相当の鋳型DNAを含む総量100μlの反応液を用い、98°C 5分の加熱処理後、94°C 60秒（：鋳型2本鎖DNAの遊離1本鎖化）／48°C 45秒（：鋳型DNAとプライマーが融合して部分的に2本鎖となる反応）／72°C 90秒（：プライマーを起点として鋳型DNA鎖に沿って5'末端領域から3'末端領域へのDNA合成が行われる反応）、30サイクルで行った。1本鎖DNAからなるPCRプライマーとして、16S rDNAの3'末端領域の5'-AAGTCGTAACAAGGTAGCCGTA-3'を順方向プライマーとして、さらには23S rDNAの5'末端領域の相補鎖の5'-CTTGCTGCCT AGGCATCCA-3'を逆方向プライマーとして用いた。PCR産物の確認は、NuSieve GTG Agarose（FMC BioProducts, Rockland, USA）4.5g/TAE緩衝液（40mM Tris base, pH8.1; 2mM酢酸; 0.2 mM 2Na-EDTA）150ml, 40V, 16時間の電気泳動で行った。分子量マーカーとして、100 Base-Pair Ladder（ファルマシア・LKB）を用いた。電気泳動ゲルを臭化エチジウム0.5μg/mlの溶液で染色し、紫外線照射下で発せられる蛍光によりPCR産物の確認を行った。次にPCR産物をカッターでゲルより切り出し、70°Cでゲルを融解後、この融解液を直接鋳型DNA液として再度PCRを行った。最終PCR産物をウルトラフリーC3（ミリボア）で遠心濾過し、脱塩精製した。PCR産物の塩基配列は、パーキンエルマー社のダイターミネーター法によ

り、373S DNA シークエンサーを用いて調べた。すなわち、DyeDeoxy Terminator Cycle Sequencing Kitを用い、サイクルシークエンスを96°C 30秒、50°C 15秒、60°C 4分で行った。泳動ゲルには、Long Ranger（パーキンエルマー）を5.5%濃度で用いた。

結果と考察

OCh-C1株のPCR産物として、約300bp（塩基対）と870bpの2本鎖DNA断片を得た。このうち300bp 2本鎖DNA断片は、塩基配列が既知のインターニュックスペーサーとは全く異なっていた。さらに得られた塩基配列の中間領域の相補鎖の5'-AGAGTTGATCCTGCTCAG-3'を逆方向プライマーとし、16S rDNAの5'末端領域の5'-AGAGTTGATCCTGGCTCAG-3'を順方向プライマーとしてPCRをおこなったところ、理論的な大きさ、約2,000bp、に相当するPCR産物が得られなかつた。したがつて300bp DNA断片は、rrnオペロンのインターニュックスペーサーではなく、非特異的なPCR産物だと考えられた。

次にFig. 1に、870bp DNA断片の塩基配列と、比較対象として、*Roseobacter*と同じProteobacteria綱のα-3クラスターに属する*Rhodobacter sphaeroides*⁵⁾のIGSを示す。

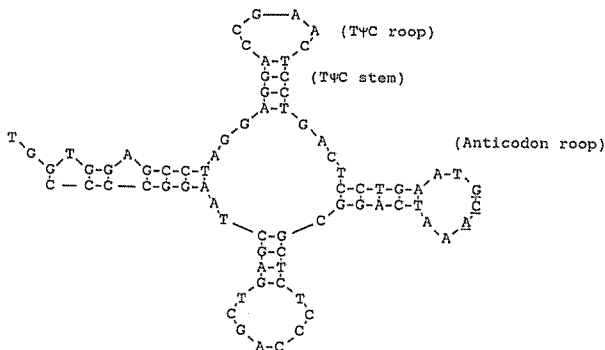
OCh-C1株の870bp DNA断片においては、用いたプライマーの構造が5'及び3'末端のいずれにも確認されず、ダイターミネーターによるシークエンス伸長反応が他端にまで届かなかつたことが推察された。しかしながら得られたPCR産物においては、16S rDNAの3'末端に位置するmRNAの結合部位のアンチシャインダルガノ配列領域⁹⁾が認められ、目的のIGSが得られていることがわかつた。*Rhd. sphaeroides*のIGSとの間には、アンチシャインダルガノ配列領域と、*Rhd. sphaeroides*の塩基番号296から370、すなわちイソロイシンtRNA遺伝子の領域⁸⁾において、100%の相同性が認められた。他に、*Rhd. sphaeroides*の塩基番号421から497、すなわちアラニンtRNA遺伝子の領域⁹⁾でOCh-C1株との間に87%の相同性が認められた。Fig. 2にOCh-C1株のアラニンtRNA相同領域の2次元構造を示す。870bp DNA断片のアラニンtRNA相同領域では、*Rhd. sphaeroides*と同一のアンチコドンループが認められたが、TψCシステム及びTψCループ領域においてはかなりの変異が認められた。870bp DNA断片のIGS

Roseobacter Rhd. sphaero	5'	10	20	30	40	50	
	1	-----	-----	CACCA	CGGAGGNTN	GGATCACCTC	50
	1	GTGAAGTCGT	AACAAGGTAG	CCGTAGGGGA	ACCTGCCT	GGATGACCTC	50
	60	70	80	90	100		
Roseobacter Rhd. sphaero	51	CTTTCTAAGG	ATGCTCTTAG	CAGCAAGAAC	TTGTTCTTGA	GCTCGTGGAA	100
	51	CTTTCTAAGG	ATGCTCTGG	CAGACAG-GC	TTG-CCT-G	TCTCGTG-AA	100
	110	120	130	140	150		
Roseobacter Rhd. sphaero	101	CACTTACGAG	TCACTTATGT	GACATATCGG	CAGGCTCTTC	GGAGCACTGC	150
	--GCTACTTG	GCAGAGACCA	GTGATGGTCT	CA-----	-----ACA		150
	160	170	180	190	200		
Roseobacter Rhd. sphaero	151	TTGGNCGGAG	CCGTCTCAT	ATGCTCTTCA	CTTCATAAGAC	A-----	200
	CGCGGCCAGG	CCGTCCCCAT	ATGCCCTCAA	AGACAGAGCA	AGCGCGGGTT		200
	210	220	230	240	250		
Roseobacter Rhd. sphaero	201	-----	-----	-----	-----		250
	201	CGTAACCGCC	GTGTGAGCCA	CCTCGGGCCT	TGCGGCCCTC	GGCACATGCC	250
	260	270	280	290	300		
Roseobacter Rhd. sphaero	251	-----	-----	-----	-----		300
	251	TCAAAACGGT	CCACTGGACC	GTTTGCCTC	CGAGGGAGC	GTATGCGGGT	300
	310	320	330	340	350		
Roseobacter Rhd. sphaero	301	CGGTAGCTA	GGTGGTTAGA	GCGCACGGCT	GATAAGCGTG	AGGTGGAGG	350
	301	CGGTAGCTA	GGTGGTTAGA	GCGCACGGCT	GATAAGCGTG	AGGTGGAGG	350
	360	370	380	390	400		
Roseobacter Rhd. sphaero	351	TTCAAGTCCT	CCTCGACCCA	CCAT-AAGT	A-----	-----	400
	351	TTCAAGTCCT	CCTCGACCCA	CCATCAAATC	CGGCGGATT	GATGCCAGCG	400
	410	420	430	440	450		
Roseobacter Rhd. sphaero	401	-----	T	GGGGCCTT	CTCAGCTGG	AGAGGCGCTG	450
	401	CCAGCGCGGC	AGGACTGCGA	GGGGCCTT	CTCAGCTGG	AGAGGCGCTG	450
	460	470	480	490	500		
Roseobacter Rhd. sphaero	451	ATTTGCAATTG	AGGGGGTCTAG	CGAGTCTGGT	CGCTCTAGGC	TCCACCAATT	500
	451	CTTGCAAAAG	AGGGGGTCTAG	CGAGTCTGGT	CGCGATAGGC	TCCACCAAGT	500
	510	520	530	540	550		
Roseobacter Rhd. sphaero	501	CTTCAGTTG	ATCGGTAAAGC	ACTCTGAGA	TGCTTCCCGG	TCCAACCTGG	550
	501	CGGGTTC--G	ATCGCCAAGC	CGATGTTG	CGTTTGGCCC	TCCAACCGGA	550
	560	570	580	590	600		
Roseobacter Rhd. sphaero	551	CGANTTAAAC	TGGATTITGA	GAGATACACA	TCACTTACCC	TGGATCGCCC	600
	551	CGAGATTTG	ACATCGTICA	SAGAGATACA	ACA-TCACT	---ATCGCC	600
	610	620	630	640	650		
Roseobacter Rhd. sphaero	601	CGTCCTAGG	GATGATCAGC	AGCATGCTTC	GGCAGAGCTG	CACGTTTGAT	650
	601	CGTCCTCCGA	GTAGGGGAAG	ACCGGGGT	CGACCCCGCA	GGCGAT---	650
	660	670	680	690	700		
Roseobacter Rhd. sphaero	651	ACTATTCCAA	GTAAAGTACA	-CTAACCGCTG	TGCATGCCA	ATACTGATG	700
	651	ATTGTTCCAA	GTCTAGTACA	ACTAACCGCTG	ACGACCTT	GGTCATCGCA	700
	710	720	730	740	750		
Roseobacter Rhd. sphaero	701	TCACGCAACG	TTCCGCCAAC	GAACCACTGG	GGAAACCGG	AAAATGTATG	750
	701	GGGAATGTA	CATGTTCTG	ACATGGAAA	CGCCCTTCT	CTTCCGGAT	750
	760	770	780	790	800		
Roseobacter Rhd. sphaero	751	CAATTGTTA	ATGCTCAACC	GAAGTCAAAA	GGCGGGTCTA	GCGCAAGGAA	800
	751	AGATCAAGC	GGCAAAAGGG	CGTTGGTGG	ATGCCCTAGGC	AGCAAGAGC	800
	810	820	3'	830	840	850	
Roseobacter Rhd. sphaero	801	AGTTGTCTT	CGTCGGCG	GTCA.....	850
	801	GATGAAGGAC	GTGAT.....	850

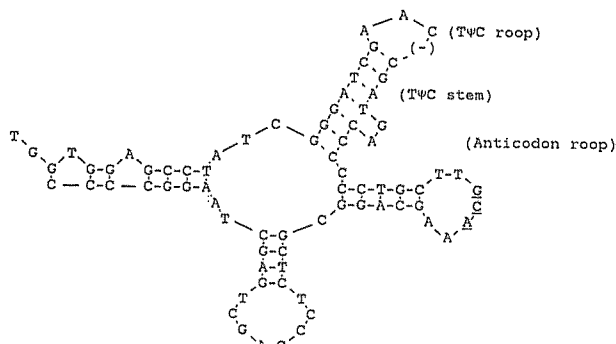
	5'	10	20	30	40	50	
Roseobacter Rhd. sphaero	1	-----	CACGCC	CGCGAGGNTN	GGATCACCTC	50	
	1	GTGAAGTCGT	AACAAGGTAG	CCGTAGGGAA	ACCTGCCT	GGATCACCTC	50
Roseobacter Rhd. sphaero	51	CTTTCTAAGG	ATGCTCTAG	CAGCAAGAAC	TGTTCTTGA	GCTCGTGGAA	100
	51	CTTTCTAAGG	ATGCTCTGG	CAGACAG-GC	TTG-CCT-G	TCTCGTG-AA	100
Roseobacter Rhd. sphaero	101	CACTTAGCAG	TCACTTATGT	CACATATCGG	CAGGCTCTTC	GGAGCACTGC	150
	101	--GCTACTTG	GCAGAGACCA	GTATGGTCT	CA-----	-----ACA	150
Roseobacter Rhd. sphaero	151	TTGGNCGGAG	CCGTCCCAT	ATGCTCTTCAG	CTTCAAGAC	-----	200
	151	CGCGCGCAGG	CCGTCCCCAT	ATCCCCTTCAG	AGACAGAGCA	AGCGCGGGTT	200
Roseobacter Rhd. sphaero	201	-----	-----	-----	-----	-----	250
	201	CGTAACCGCC	GTGTGAGCCA	CCTCGGGCCT	TGCGGCCCTC	GGCACATGCC	250
Roseobacter Rhd. sphaero	251	-----	-----	-----	-----	-----	300
	251	TCAAAACGGT	CCACTGGACC	GTTTTGCCTC	GGCAAGGGCC	GTA-TGGGT	300
Roseobacter Rhd. sphaero	301	CGGTAGCTCA	GGTGGTTAGA	GGCACCGCCT	GATAAGCGTG	AGGTCGGAGG	350
	301	CGGTAGCTCA	GGTGGTTAGA	GGCACCGCCT	GATAAGCGTG	AGGTCGGAGG	350
Roseobacter Rhd. sphaero	351	TTCAAGTCCT	CCTCGACCCA	CCAT-AAGTT	A-----	-----	400
	351	TTCAAGTCCT	CCTCGACCCA	CCATCAAATC	CGGCGGATT	GATGCCAGCG	400
Roseobacter Rhd. sphaero	401	-----	-----	-----	-----	-----	450
	401	CCAGCGCGC	AGGACTGCGA	GGGGCCTTAG	CTCAGCTGGG	AGAGCGCCTG	450
Roseobacter Rhd. sphaero	451	ATTTGATTC	AGGAGGTCA	CGAGTTCGG	CCTCTAGGC	TCCACCAATA	500
	451	CTTCCAAGC	AGGGGGTCA	CG-TTTCGAT	CCCAGATAGGC	TCCACCAAGT	500
Roseobacter Rhd. sphaero	501	CTTCAGTTG	ATCGGTAAAGC	ACTTCTGAGA	TGCTTCCCGG	TCCAACGG	550
	501	CCGGTTC-G	ATCGCCAAGC	CCATGCGT	GTTGGCGG	TCCAACCGG	550
Roseobacter Rhd. sphaero	551	CGANTTAACA	TGATTGAGA	GAGATACACA	TCACTTCACC	TGGATCGCCC	600
	551	CGAGATTTG	ACATCGTCA	GAGAGATACA	ACA---TCAGT	---ATCGCC-	600
Roseobacter Rhd. sphaero	601	CGCTTAGGN	GATGATCAGC	AGCATCTTC	GGCAGAGCTG	CACGTTGAT	650
	601	GTCTCCCCGA	GTAGGGGAG	ACCTGGGGT	CGACCCCGCA	GGCGAT-----	650
Roseobacter Rhd. sphaero	651	ACTATTCAA	GTAAAGTACA	-CTAACCGTG	TGCGCATGCC	ATACAGATG	700
	651	ATTTGTCATA	GTCTAGTACA	ACTGACCGCG	ACGACCTTCG	GGTCATGCCA	700
Roseobacter Rhd. sphaero	701	CACCGAACG	TTCCCTAAC	GAACCACTGG	GGAAACCGG	AAAATGTATG	750
	701	TGGGAATGTA	CATGCTTCTG	ACATGGGAAA	GGCCCTTCT	CTTTCGGAT	750
Roseobacter Rhd. sphaero	751	CATTGATTA	ATGCTCACCC	GAAGTCAAAA	GGCGGGTGA	GCGCAGGAGA	800
	751	CAGATCAAGC	GCCTAAAGG	CGTTGGTGG	ATGCCCTAGC	AGCAAGAC	800
Roseobacter Rhd. sphaero	801	AGCTTGTCT	CGTCGGCG	GTCA.....	850
	801	GATGAAGGAC	GTGAT	850

Roseobacter Rhd. sphaero	551 CGANTTAACA TCGATTUAGA GAGATACAGT TCAAGTCCG TGGATGCC 551 CGAGATTTG ACATCGTCA GAGAGATAAC ACGA <u>-TCAGT</u> ---ATCCCC	551
Roseobacter Rhd. sphaero	601 CGCTCTTACGG GATGATCAGC AGCATGCTTC CCCAGAGCTG CACGTGAT 601 GGTCTCCCCA GTAGGGAAAG ACCTGGGGT CGACCCCGCA GGGCAT---	601
Roseobacter Rhd. sphaero	651 ACTATTCCAA GTTAAGTACA -CTAACCGGTG TGGCATGCAT ATACAGCATG 651 ATTGTTCCAA GTCTAGTACA ACTGACCCGGG ACGACCTTCG GGTCACTCGCA	651
Roseobacter Rhd. sphaero	701 CACGCAACG TTCCACCAAC GAACCA <u>GTGG</u> CGAAACCGG AAAATGTATG 701 TGGGAATGTA CATGGTTCTG ACATGGAAA GAGCTTCTCT CTTCCGGAT	701
Roseobacter Rhd. sphaero	751 CATTGATTA ATGCTCACCC GAAGTCAAAA GGCGGGGTA GCGCAGGAGA 751 CAGATCAAGC GCAAAAAGGG CGTTGGTGG ATGCCCTAGGC AGCAAGAGGC	751
Roseobacter Rhd. sphaero	801 AGCTTGCTT CGTC <u>GGGGCG</u> GTCA..... 801 GATGAAGGAC GTGA.....	801
	810 820 3' 830 840 850	
		850
		850

Fig. 1. Nucleotide sequences of 870bp DNA fragment of *Roseobacter* sp. OCh-C1 and the intergenic spacer of *Rhodobacter sphaeroides*. Region of anti-Shine-Delgarno sequence is underlined.



Roseobacter sp. OCh-C1



Rhodobacter sphaeroides

Fig. 2. Possible secondary structures of tRNA-like region of 870bp DNA fragment of *Roseobacter* sp. OCh-C1 and alanine tRNA of *Rhodobacter sphaeroides*. The letters with underline indicate anticodon. The structures were constructed manually.

では、*Rhd. sphaerooides* の塩基番号192から277の領域とイソロイシンtRNAとアラニンtRNA領域との間で脱落がみられ、またアラニンtRNAの3'側領域は*Rhodobacter*のIGSとの比較で、変異の激しいことがわかった。これは、92.1%の相同性を示す16S rDNA¹⁰⁾とは対照的である。したがってIGSを用いてのPCR-RFLPでは、16S rDNAを用いるよりもはるかに詳細な菌株間の区別が可能だと思われる。

謝 辞

最後に、DNA塩基配列を決めるにあたりお世話になった小野臨湖実習場の近藤昌和先生に感謝します。

文 献

1) L. S. Dillon, The Gene, Plenum Press, New York and

- London, 1987, p. 896.
- 2) V. Gurtler, V. A. Wilson, and B. C. Mayall: *J. Gen. Microbiol.*, 137, 2673-2679 (1991).
- 3) E. Navarro, P. Simonet, P. Normand, and R. Bardin: *Arch. Microbiol.*, 157, 107-115 (1992).
- 4) R. Vilgalys, and M. Hester: *J. Bacteriol.*, 172, 4238-4246 (1990).
- 5) C. R. Woese: *Microbiol. Rev.*, 51, 221-271 (1987).
- 6) T. Shiba: *Fisheries Sci.*, 61, 245-248 (1995).
- 7) T. Shiba: *Sys. Appl. Microbiol.*, 14, 140-145 (1991).
- 8) 依藤元・松尾由佳・芝恒男・前田峻道・村上正忠:平成7年度第11回日本微生物生態学会講演要旨集, P.17.
- 9) S. C. Dyden, and S. Kaplan: *Nucleic Acid Res.*, 18, 7267-7277 (1990).
- 10) J. A. Fuerst, J. A. Hawkins, A. Holmes, L. I. Sly, C. J. Moore, and E. Stackebrandt: *Int. J. Sys. Bacteriol.*, 43, 125-134 (1993).